

建設省土木研究所 正員 駒田敬一
 " " 岡山義人
 " " 魚見秀幸

1 まえがき

近年軟弱地盤上の構造物が背面の盛土や堰上げた水などの影響で水平に移動する現象がしばしば見られる。とくに軟弱地盤上に施工された橋台や蹄脚についてこの現象が著しい。このような軟弱地盤上にあって偏載荷重もうけた構造物の水平移動の現象は広く知られていないともかかわらず、これに関する調査研究は十分に行なわれていながら現状である。現在深い軟弱地盤に施工される構造物が多くなり、構造物の大型化、施工速度の加速化がこのような現象の出現を助長している。最近、水平変位により構造上の問題を生じている事が多く、この問題の解明と対策工法の樹立がのぞまかれている。現在建設省技術研究会で「偏載荷重による構造物の水平移動に関する調査」を行なっているので、この調査についての概要と、この現象に関して土木研究所で行なっていいる模型実験の一端を報告するものである。

2 調査の概要と結果

調査の方法はアンケート様式で行ない、アンケートは基礎構造物の概略、地盤の地圧関係 N 値 K 値 土質試験結果 地下水位 変位の状況(变形の模様 移動量 傾斜 次下 発見時期 近況への影響 障害など)について行なっている。提出された資料には数の大小があり内容にも粗が見られるが全体は把握し得るにと考える。またこの調査はすべての構造物について行なわれてはが今回は橋台について整理、計算を行なった。実測変位量と変位量に関すると思われる橋台の構造ファクターとを比較すると図-2~4を得る。図-1は橋底における実測変位量と計算値との比較を示したものである。移動を起こしているものは計算値の数倍大きいものが多くあることがわかる。このことは地盤条件、橋台の構造によっては現行の設計法の外力の加え方、地盤反力の評価に問題があることを示している。

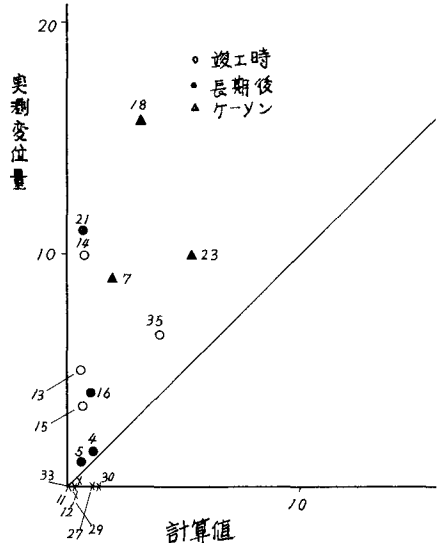


図-1 実測変位量と計算値の比較

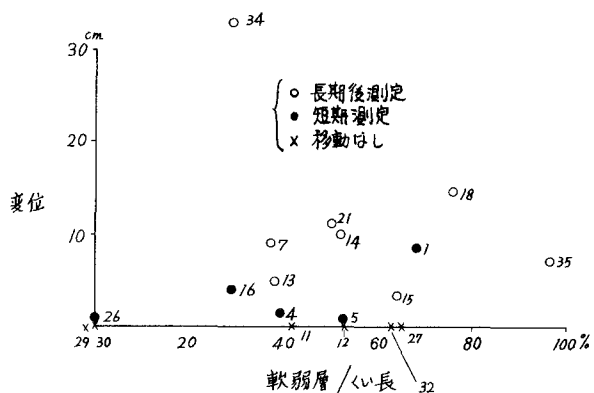


図-2 実測変位量と軟弱層/くい長の比較

図-2は実測変位量と軟弱層/くい長の比較を行なつものである。図-3は実測変位量と杭の列数 図-4は、実測変位量と軟弱地盤の始まる深さの比較を示したものである。これらを要約すると次の事がいえる。

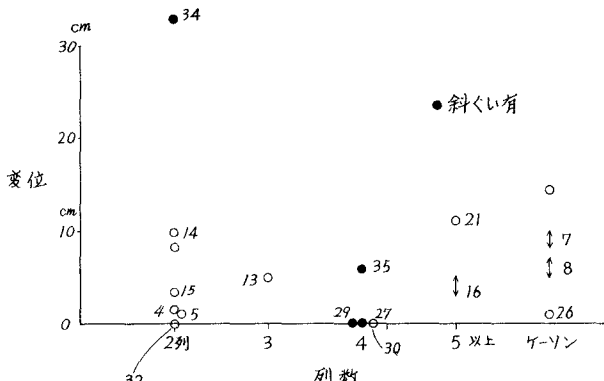


図-3 実測変位量とくいの列数の比較

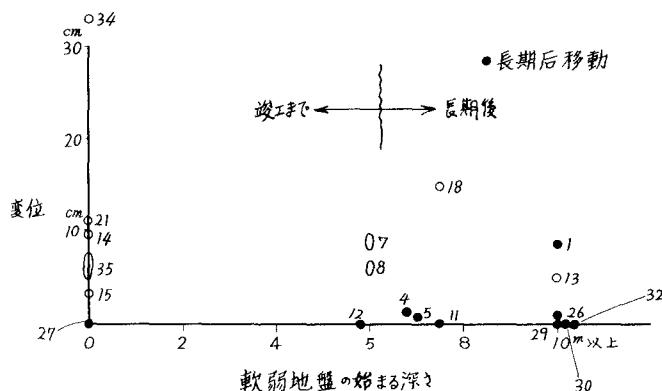


図-4 実測変位量と軟弱地盤の始まる深さ

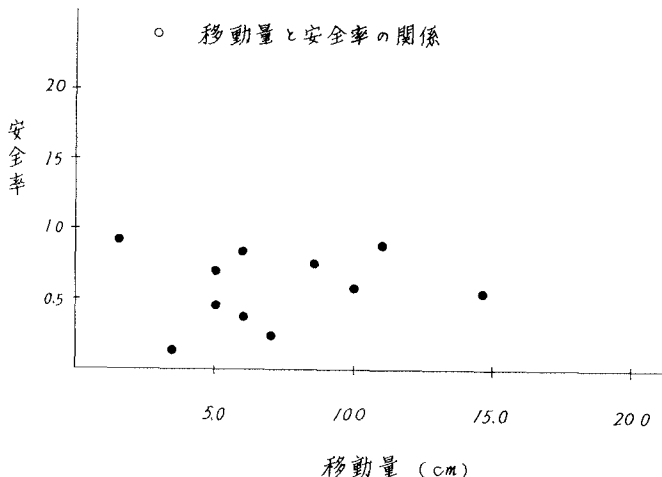


図-5 実測変位量と安全率の比較

1) 軟弱比(軟弱層厚/くい長)が30%以上のものに移動したものが多い。

2) くい2列のものは移動しやすい。

3) 軟弱層がフーチング底面より現われる地盤は盛土の施工時に移動しやすい。

4) 施工後長期にわたる移動はその量としては少ない。

以上のことから、調査例を通して移動し易い橋台のイメージとしては軟弱地盤が杭の上部に位置し、その層厚がくい長の30%以上程度はあり、くいの列数が2列のものが浮び上ってくる。

このよう に移動を起す構造物の安定は上述べたのが形態的な検討による所か、次の力学的検討が考えられる。この方法では構造物が移動を生じる限界裏が力学的K表示され、これによつて構造物の形式選定、対策工法の必要性の有無が判定されるこゝに付ける。

今回は、軟弱層の性質、厚さを含めて総合的K検討で3種類すり面法によりすべりに対する安全率を算定して結果が図-5である(構造物の基礎杭等は無視する)。これは、実測変位量と安全率の比較である。この場合K-N直立地盤のセシオン算定を用いてるので安全率は大きくバラついたが、詳細な土質調査結果の適用によって安全率にある傾向がみられると言えられる。

3 模型実験

1) 模型実験の概要

軟弱地盤上にあって、このような偏載荷重をうける構造物は、設計基準面上の土圧や水圧によつてのみならず設計基準面下に発生する杭自身に作用する水平方向土圧による移動にあたえず影響は大きいと考えられる。したがつて通常の橋台等の設計において、フーチングに作用する土圧のみを考えて設計を行なつてはが軟弱地盤においては、杭自身にも外力が作用し移動を起

すわけである。この杭自体と作用する外力の影響の度合を知る段階として簡単な模型を作り、実験を行なつた。

2) 実験の方法

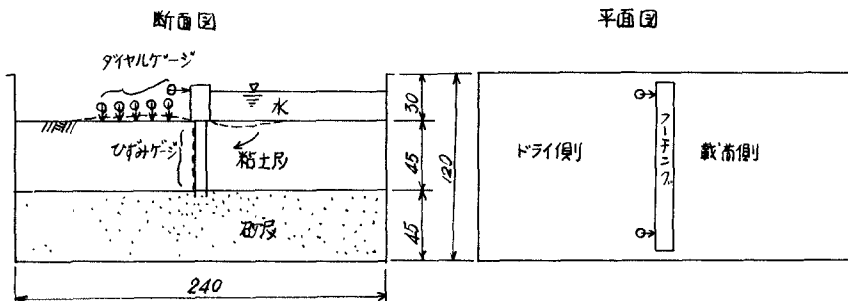


図-6 実験槽概要図

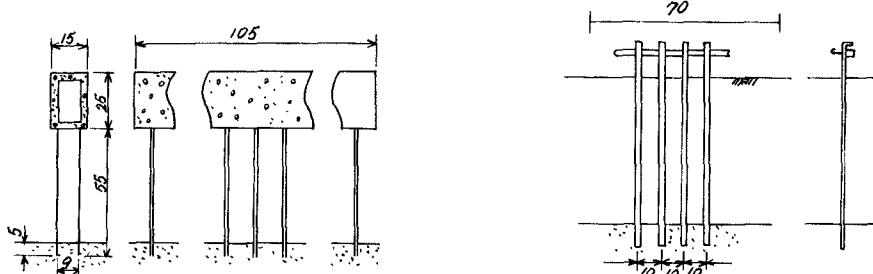


図-7 剛体フーチングのある模型(杭2列9本)

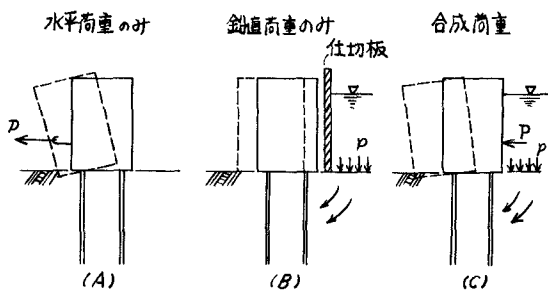


図-8 剛体フーチングのない模型(杭1列8本)

実験は 実験槽K模型をセットして偏載荷重を加えて側方液動の現象を再現して行なうものである。
実験槽は両面ガラス張りの図-6のようす、幅1.2m長さ2.4m高さ1.2mのもので軟弱地盤は図-6のようす下層にしまつて砂層を(模型の支持層とする)作りその上に含水比管理を行なつて軟弱粘土層を作つた。模型は図-6のようすをセットする種類は図-7.8にあるようくフーチングをつめたものと、つけてないで杭8本の1列による模型の2種類である。

載荷は 図-9のようす水平荷重のみ、鉛直荷重のみ、合成荷重を行なつた。載荷物の管理のしやすい水を用いた。行程は 水深5mで水平荷重もそれの水平方向水圧を用いて測定時間は各々1ケルヒモに10分間500mm水柱まで測定した。最大荷重としては水深25mである。測定項目は フーチング、杭頭の変位量、回転角(ダイヤルゲージ測定KF3)、杭のひずみ(ヒスマゲージ)、地盤の隆起(タヤルゲージKF3)である。

3) 実験の結果

測定の結果は 杭頭変位ヒスマより次の差分方程式を用いて計算を行なつた 变位図、モーメント図、セイ断力図、反力図を得た。

差分方程式を以下に示す。

$$\theta_m = \frac{y_{m+1} - y_{m-1}}{2\lambda}$$

$$M_m = \frac{y_{m+1} - 2y_m + y_{m-1}}{\lambda^2} \cdot E \cdot I$$

$$S_m = \frac{y_{m+2} - 4y_{m+1} + 6y_m - 4y_{m-1} + y_{m-2}}{2\lambda^3} \cdot E \cdot I$$

$$P_m = \frac{y_{m+2} - 4y_{m+1} + 6y_m - 4y_{m-1} + y_{m-2}}{\lambda^4} \cdot E \cdot I$$

y_m : m 矢の変位

θ_m : m 矢のタクミ角

S_m : m 矢のせん断力

P_m : m 矢の反力

λ : 測定間隔

結果を 7-チニ 7-モツケでもので 荷重高さ 1.5^m で鉛直荷重と合成荷重のものを比較すると図-10を得る。

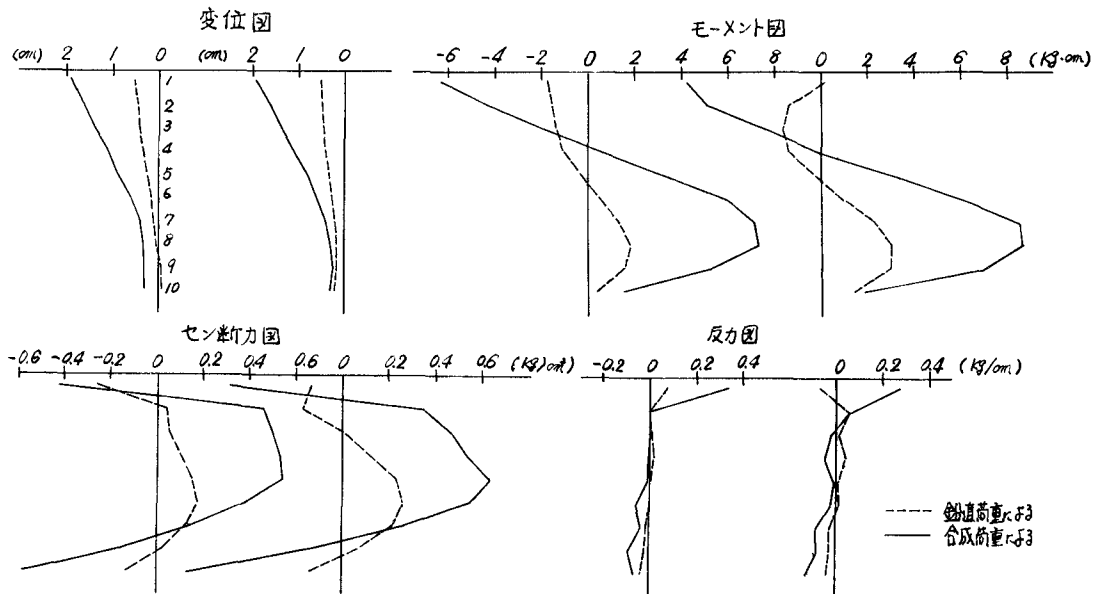


図-10 実験結果

図-10 Kにおいて頭部の変位は合成荷重のものが 2^m 程度、鉛直荷重のものが 0.5^m 程度で鉛直荷重のものは 合成荷重のものの約 1/4 の変位を起している。これは軟弱地盤上に土圧係数の小さな良質土の盛土を行なっても重量が加わる限りは このような変位は起り得るということになる。このことは 実際の設計にもいえる。

4 あとがき

軟弱地盤上において 常時偏載荷重をうける橋台、堤柱などの構造物は 軟弱地盤の存在を十分に設計に織入する必要があると考える。ケーラン基礎の設計のさいには 盛土の水平力のみではなく根入部分にも水平力を作用させておこなうが杭基礎においては そのような考慮はされていなかった。しかし この杭自体に作用する水平力の影響は上述のように無視できなくなつておこなう。この現象のメカニズムの解明をすすめ、軟弱地盤の存在を考慮した設計を行ない、対策工法の樹立が必要である。